



ANEXO II: DATOS DE TRÁFICO Y TRAYECTORIAS

1. COMPOSICIÓN DE LA FLOTA SIMULADA. AEROPUERTO DE TENERIFE NORTE-CIUDAD DE LA LAGUNA

La base de datos ANP, citada en el apartado de número de operaciones y composición de la flota, además de proporcionar el representante ANP correspondiente a un código OACI de avión, recoge un factor de corrección (FC) que representa la configuración de avión más ruidosa para cada pareja OACI/ANP, tanto para las operaciones de despegue como en las de aterrizaje.

Se incluye a continuación los factores de corrección para las operaciones realizadas en el aeropuerto proporcionados por la base de datos ANP. Estos factores se establecen en base a un número de movimientos equivalentes para cada tipo de operación de aterrizaje o despegue en función del tipo de aeronave.

Tabla AII. 1. Factores de corrección por operación de la base de datos ANP por modelo de aeronave. Aterrizajes (N_APP) y despegues (N_DEP)

OACI	CÓDIGO AEDT	N_APP	N_DEP
A20N	A320-211	0,45	0,21
A20N	A320-232	0,63	0,45
A21N	A321-232	0,85	0,43
A319	A319-131	1,07	1,58
A320	A320-211	1	1,05
A320	A320-232	1,66	1,7
A321	A321-232	1,38	2,24
A343	A340-211	1,02	1,35
AA5	GASEPF	1	1
ASTR	IA1125	1	1
AT43	DHC8	1,7	0,62
AT72	HS748A	1,05	0,38
AT75	HS748A	0,68	0,12
AT76	DHC830	1	1
AT8T	GASEPV	1	1
B350	DHC6	1	1
B463	BAE300	1	1
B733	737300	1,05	1,1
B733	7373B2	1,05	1
B734	737400	1	1
B735	737500	1,82	1,91
B737	737700	1,1	1,41
B738	737800	1,1	1,15

OACI	CÓDIGO AEDT	N_APP	N_DEP
B752	757PW	1,29	2,69
B752	757RR	3,24	1,29
B788	7878R	2,95	2,04
B789	7878R	1,91	2,09
BE30	DHC6	1	1
BE36	GASEPV	1	1
BE40	MU3001	1,07	1,07
BE9L	CNA441	1	1
C10T	GASEPV	1	1
C152	CNA172	1	1
C172	CNA172	1	1
C182	CNA182	1	1
C25A	CNA525C	1,55	0,56
C25B	CNA525C	0,81	0,59
C337	BEC58P	1	1
C421	BEC58P	1	1
C510	CNA510	1	1
C525	CNA525C	1,05	1,02
C550	CNA55B	1	3,98
C550	CNA560U	1,12	1,17
C560	CNA560U	2,09	1,05
C56X	CNA560XL	1	1,29
C650	CIT3	1,38	1,12
C68A	CNA680	1	1
C750	CNA750	1	1
CL35	CL600	1	1
CL60	CL601	1,02	1,2
CRJ2	CL601	1,32	0,71
CRJ9	CRJ9-ER	1,2	1,26
CRJX	CRJ9-LR	1,23	1,26
DA40	GASEPV	1	1
DA42	BEC58P	1	1
E195	EMB195	1	1
E295	EMB195	1	1
E35L	CNA55B	1	1
E55P	CNA560XL	0,38	1,35

OACI	CÓDIGO AEDT	N_APP	N_DEP
F2TH	CL600	2,4	1,82
F2TH	CL601	0,95	2,57
GALX	EMB145	1,02	1,41
GL5T	GV	0,78	1,1
GLEX	F10065	0,47	0,85
H25B	IA1125	2,88	5,75
J328	CNA750	1	1
LJ31	LEAR35	1,23	1
LJ35	LEAR35	1,12	1,41
LJ45	LEAR35	1,32	0,35
LJ55	LEAR35	1,05	2,19
LJ60	CNA560XL	0,29	0,72
M20T	GASEPV	1	1
P06T	PA30	1	1
P180	DHC6	1	1
P208	GASEPF	1	1
P28A	PA28	1	1
P28R	GASEPV	1	1
PA28	GASEPF	1	1
PA32	GASEPV	1	1
PA34	BEC58P	1	1
PA44	GASEPF	1	1
PAY3	PA42	1	1
PC12	CNA208	1	1
PRM1	CNA55B	1,2	1,91
S22T	COMSEP	1	1
SF50	ECLIPSE500	1	1
SIRA	GASEPF	1	1
TBM9	CNA208	1	1

Fuente: Base de datos ANP

Debido a este factor de corrección aplicado, tal como se refleja en el apartado 4.3 del presente documento, el número de operaciones a simular no coinciden exactamente con el día medio correspondiente al año de estudio (149,53 operaciones), siendo las operaciones simuladas un total de 137,22.

En la siguiente tabla se muestran las operaciones consideradas en la simulación y su distribución en los periodos horarios, día y tarde.

Tabla All. 2. Operaciones simuladas. Aeropuerto de Tenerife Norte-Ciudad de la Laguna

OPERACIONES ANUALES	OPERACIONES DÍA MEDIO (OPS ANUALES/365 DÍAS)	OPERACIONES SIMULADAS FC ANP		
		TOTALES	DÍA	TARDE
54.580	149,53	137,22	111,06	26,16

Fuente: Elaboración propia

A continuación, se incluye una tabla con la composición de la flota y el número total de operaciones asociadas a cada modelo de aeronave desarrolladas en el aeropuerto durante el año 2021. Se incorpora también el número de operaciones totales simuladas para el MER correspondientes a cada modelo de aeronave, una vez aplicado el factor de corrección por tipo de operación desarrollada.

Tabla All. 3. Composición de la flota año 2021

INDICATIVO OACI	TIPO DE AERONAVES	CÓDIGO AEDT	OPERACIONES PALESTRA 2021		OPERACIONES FACTOR CORRECCIÓN ANP	
			Nº OPS	%	Nº OPS	%
A20N	Airbus A-320 neo	A320-211	0,0257	0,0172	0,0088	0,0064
A20N	Airbus A-320 neo	A320-232	9,4673	6,3312	5,1175	3,7293
A21N	Airbus A-321 neo	A321-232	3,6608	2,4481	2,3483	1,7113
A319	AIRBUS A-319	A319-131	0,0200	0,0134	0,0257	0,0188
A320	AIRBUS A-320	A320-211	6,1746	4,1292	6,3280	4,6114
A320	AIRBUS A-320	A320-232	4,5996	3,0759	7,7265	5,6306
A321	AIRBUS A-321	A321-232	3,5809	2,3947	6,4606	4,7081
A343	AIRBUS A-340-300	A340-211	0,0228	0,0153	0,0271	0,0197
AA5	GRUMMAN AMERICAN AA-5	GASEPF	0,0114	0,0076	0,0114	0,0083
ASTR	IAI 1125 Gulfstream G100	IA1125	0,0257	0,0172	0,0257	0,0187
AT43	AEROSPATIALE ATR-42-200/300/320	DHC8	0,0057	0,0038	0,0066	0,0048
AT72	AEROSPATIALE ATR-72-101/102/201/202	HS748A	0,0542	0,0363	0,0378	0,0276
AT75	AEROSPATIALE ATR-72-500	HS748A	32,7733	21,9169	13,1093	9,5533
AT76	AEROSPATIALE ATR-72-600	DHC830	65,9518	44,1048	65,9518	48,0617
AT8T	AIR TRACTOR AT-802	GASEPV	0,0114	0,0076	0,0114	0,0083
B350	BEECH 300 (B300) Super King Air 350	DHC6	0,0913	0,0611	0,0913	0,0665
B463	BRITISH AEROSPACE BAe-146-300	BAE300	0,0057	0,0038	0,0057	0,0042

INDICATIVO OACI	TIPO DE AERONAVES	CÓDIGO AEDT	OPERACIONES PALESTRA 2021		OPERACIONES FACTOR CORRECCIÓN ANP	
			Nº OPS	%	Nº OPS	%
B733	BOEING 737-300	737300	0,2568	0,1717	0,2761	0,2012
B733	BOEING 737-300	7373B2	0,0057	0,0038	0,0058	0,0043
B734	BOEING 737-400	737400	0,3367	0,2252	0,3367	0,2454
B735	BOEING 737-500	737500	0,0057	0,0038	0,0106	0,0078
B737	BOEING 737-700	737700	0,0057	0,0038	0,0072	0,0052
B738	BOEING 737-800	737800	9,4902	6,3465	10,6750	7,7793
B752	BOEING 757-200	757PW	0,0057	0,0038	0,0114	0,0083
B752	BOEING 757-200	757RR	2,6650	1,7822	6,0307	4,3948
B788	BOEING 787-8 Dreamliner	7878R	0,7704	0,5152	1,9247	1,4026
B789	BOEING 787-9 Dreamliner	7878R	0,6962	0,4656	1,3919	1,0143
BE30	BEECH 300 Super King Air	DHC6	0,0057	0,0038	0,0057	0,0042
BE36	BEECH 36 Bonanza (piston)	GASEPV	0,0114	0,0076	0,0114	0,0083
BE40	BEECH 400 Beechjet	MU3001	0,0228	0,0153	0,0244	0,0178
BE9L	BEECH 90 (A/B/C/D/E 90) King Air	CNA441	0,0057	0,0038	0,0057	0,0042
C10T	CESSNA P210 (turbine)	GASEPV	0,0057	0,0038	0,0057	0,0042
C152	CESSNA 152	CNA172	0,0086	0,0057	0,0086	0,0062
C172	CESSNA 172	CNA172	0,3082	0,2061	0,3082	0,2246
C182	CESSNA 182	CNA182	0,1798	0,1202	0,1798	0,1310
C25A	CESSNA 525A Citation CJ2	CNA525C	0,0228	0,0153	0,0241	0,0175
C25B	CESSNA 525B Citation CJ3	CNA525C	0,0057	0,0038	0,0040	0,0029
C337	CESSNA 337 Super Skymaster	BEC58P	0,0628	0,0420	0,0628	0,0457
C421	CESSNA 421	BEC58P	0,0942	0,0630	0,0942	0,0686
C510	CESSNA 510 Citation Mustang	CNA510	0,0285	0,0191	0,0285	0,0208
C525	CESSNA 525 Citation CJ1	CNA525C	0,0399	0,0267	0,0413	0,0301
C550	CESSNA 550/552 Citation 2/Bravo	CNA55B	0,0057	0,0038	0,0142	0,0104
C550	CESSNA 550/552 Citation 2/Bravo	CNA560U	0,0057	0,0038	0,0065	0,0048
C560	CESSNA 560 Citation 5	CNA560U	0,0057	0,0038	0,0090	0,0065
C56X	CESSNA 560XL Citation Excel	CNA560XL	0,0171	0,0114	0,0196	0,0143
C650	CESSNA 650 Citation 3/6/7	CIT3	0,0057	0,0038	0,0071	0,0052
C68A	Cessna 680A Citation Latitude	CNA680	0,0228	0,0153	0,0228	0,0166

INDICATIVO OACI	TIPO DE AERONAVES	CÓDIGO AEDT	OPERACIONES PALESTRA 2021		OPERACIONES FACTOR CORRECCIÓN ANP	
			Nº OPS	%	Nº OPS	%
C750	CESSNA 750 Citation 10	CNA750	0,0057	0,0038	0,0057	0,0042
CL35	BOMBARDIER BD-100 Challenger 350	CL600	0,0057	0,0038	0,0057	0,0042
CL60	CANADAIR CL-600 Challenger 600/601/604	CL601	0,0342	0,0229	0,0380	0,0277
CRJ2	CANADAIR CL-600 Regional Jet CRJ-200/440	CL601	0,0171	0,0114	0,0174	0,0127
CRJ9	CANADAIR CL-600 Regional Jet CRJ-705/900	CRJ9-ER	0,0057	0,0038	0,0070	0,0051
CRJX	CANADAIR CL-600 Regional Jet CRJ-1000 (CL600-2E25)	CRJ9-LR	1,0871	0,7270	1,3532	0,9861
DA40	DIAMOND DA-40	GASEPV	0,0114	0,0076	0,0114	0,0083
DA42	DIAMOND DA-42 Twin Star	BEC58P	0,4251	0,2843	0,4251	0,3098
E195	EMBRAER 195/ ERJ-190-200	EMB195	0,0342	0,0229	0,0342	0,0250
E295	Embraer E195-E2/ERJ-190- 400	EMB195	4,6252	3,0931	4,6252	3,3706
E35L	EMBRAER EMB-135BJ Legacy 600	CNA55B	0,0114	0,0076	0,0114	0,0083
E55P	EMBRAER EMB-505 Phenom 300	CNA560XL	0,0257	0,0172	0,0208	0,0152
F2TH	DASSAULT Falcon 2000	CL600	0,0171	0,0114	0,0361	0,0263
F2TH	DASSAULT Falcon 2000	CL601	0,0057	0,0038	0,0100	0,0073
GALX	IAI 1126 Gulfstream G200	EMB145	0,0114	0,0076	0,0139	0,0101
GL5T	BOMBARDIER BD-700 Global 5000	GV	0,0114	0,0076	0,0107	0,0078
GLEX	BOMBARDIER BD-700 Global Express	F10065	0,0057	0,0038	0,0038	0,0027
H25B	BRITISH AEROSPACE BAe- 125-700/800	IA1125	0,0399	0,0267	0,1724	0,1256
J328	FAIRCHILD DORNIER 328JET	CNA750	0,0114	0,0076	0,0114	0,0083
LJ31	LEARJET 31	LEAR35	0,0171	0,0114	0,0191	0,0139
LJ35	LEARJET 35/36	LEAR35	0,0999	0,0668	0,1259	0,0918
LJ45	LEARJET 45	LEAR35	0,1198	0,0801	0,1001	0,0729
LJ55	LEARJET 55	LEAR35	0,0114	0,0076	0,0185	0,0135
LJ60	LEARJET 60	CNA560XL	0,0285	0,0191	0,0144	0,0105
M20T	MOONEY 231/252/M-20K/M	GASEPV	0,0057	0,0038	0,0057	0,0042

INDICATIVO OACI	TIPO DE AERONAVES	CÓDIGO AEDT	OPERACIONES PALESTRA 2021		OPERACIONES FACTOR CORRECCIÓN ANP	
			Nº OPS	%	Nº OPS	%
P06T	TECNAM P-2006T	PA30	0,1569	0,1049	0,1569	0,1144
P180	PIAGGIO P-180 Avanti	DHC6	0,0228	0,0153	0,0228	0,0166
P208	TECNAM P-2008	GASEPF	0,0114	0,0076	0,0114	0,0083
P28A	PIPER PA-28- 140/150/151/160/161/180/181	PA28	0,7761	0,5190	0,7761	0,5656
P28R	PIPER PA-28R- 180/200/201/201T Cherokee Arrow	GASEPV	0,0599	0,0401	0,0599	0,0437
PA28	PIPER PA-28-140 Cherokee	GASEPF	0,0200	0,0134	0,0200	0,0146
PA32	PIPER PA-32	GASEPV	0,0371	0,0248	0,0371	0,0270
PA34	PIPER PA-34 Seneca	BEC58P	0,0685	0,0458	0,0685	0,0499
PA44	PIPER PA-44/44T Seminole	GASEPF	0,0057	0,0038	0,0057	0,0042
PAY3	PIPER PA-42-720 Cheyenne 3	PA42	0,0114	0,0076	0,0114	0,0083
PC12	PILATUS PC-12	CNA208	0,0057	0,0038	0,0057	0,0042
PRM1	RAYTHEON 390 Premier 1	CNA55B	0,0057	0,0038	0,0089	0,0065
S22T	CIRRUS SR-22T	COMSEP	0,0057	0,0038	0,0057	0,0042
SF50	CIRRUS SF-50 Vision	ECLIPSE500	0,0057	0,0038	0,0057	0,0042
SIRA	TECNAM P-2002 Sierra	GASEPF	0,0770	0,0515	0,0770	0,0561
TBM9	SOCATA TBM-900	CNA208	0,0057	0,0038	0,0057	0,0042

Fuente: Elaboración propia

2. FICHERO DE TRÁFICO SIMULADO. AEROPUERTO DE TENERIFE NORTE-CIUDAD DE LA LAGUNA

Tabla AII. 4. Fichero de tráfico simulado.

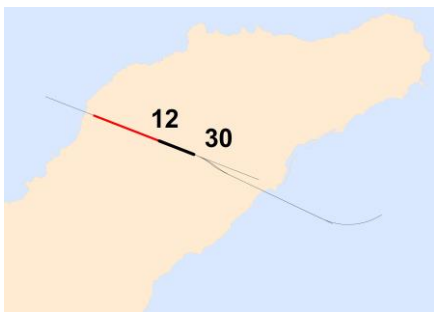
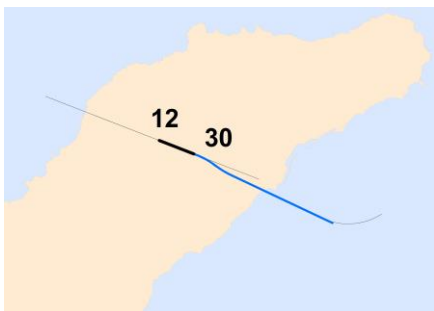

AERONAVE AEDT	ATERRIJAJES		DESPEGUES	
	DÍA	TARDE	DÍA	TARDE
737300	0,134820	0,000000	0,122408	0,018832
7373B2	0,002996	0,000000	0,002853	0,000000
737400	0,162640	0,005707	0,085599	0,082747
737500	0,005193	0,000000	0,005450	0,000000
737700	0,003139	0,000000	0,004023	0,000000
737800	4,095949	1,155026	4,885893	0,538138
757PW	0,003681	0,000000	0,000000	0,007675
757RR	3,892050	0,416015	0,817136	0,905475
7878R	1,804186	0,010900	1,454284	0,047280
A319-131	0,012212	0,000000	0,004508	0,009017
A320-211	2,429179	0,684512	2,802450	0,420637
A320-232	4,741144	2,109834	5,267810	0,725173
A321-232	2,940895	1,130173	3,610113	1,127748
A340-211	0,011642	0,000000	0,015408	0,000000
BAE300	0,000000	0,002853	0,002853	0,000000
BEC58P	0,293893	0,028533	0,322427	0,005706
CIT3	0,003938	0,000000	0,003196	0,000000
CL600	0,023397	0,000000	0,018432	0,000000
CL601	0,027706	0,003766	0,031929	0,002026
CNA172	0,148374	0,008560	0,139813	0,019973
CNA182	0,088453	0,000000	0,091307	0,000000
CNA208	0,005706	0,000000	0,005706	0,000000
CNA441	0,002853	0,000000	0,002853	0,000000
CNA510	0,008560	0,005707	0,014266	0,000000
CNA525C	0,014152	0,026821	0,007789	0,020658
CNA55B	0,011984	0,000000	0,022513	0,000000
CNA560U	0,000000	0,009159	0,000000	0,006334
CNA560XL	0,015950	0,002169	0,030816	0,005906
CNA680	0,011413	0,000000	0,011413	0,000000
CNA750	0,005706	0,002853	0,008559	0,000000
COMSEP	0,002853	0,000000	0,002853	0,000000

AERONAVE AEDT	ATERRIJAJES		DESPEGUES	
	DÍA	TARDE	DÍA	TARDE
CRJ9-ER	0,003424	0,000000	0,003595	0,000000
CRJ9-LR	0,533457	0,147403	0,514112	0,158189
DHC6	0,054213	0,005707	0,057066	0,002853
DHC8	0,000000	0,004851	0,001769	0,000000
DHC830	25,999505	6,967822	27,035262	5,949185
ECLIPSE500	0,002853	0,000000	0,000000	0,002853
EMB145	0,005820	0,000000	0,008046	0,000000
EMB195	1,569329	0,770398	2,274101	0,045653
F10065	0,001341	0,000000	0,002425	0,000000
GASEPF	0,059919	0,005706	0,057066	0,002853
GASEPV	0,065627	0,005707	0,068479	0,002853
GV	0,002226	0,002226	0,003139	0,003139
HS748A	9,109870	2,060015	1,549070	0,428170
IA1125	0,055354	0,016435	0,123406	0,002853
LEAR35	0,131625	0,021515	0,107428	0,002996
MU3001	0,012212	0,000000	0,012212	0,000000
PA28	0,382346	0,005706	0,388053	0,000000
PA30	0,079893	0,000000	0,077040	0,000000
PA42	0,002853	0,002853	0,005707	0,000000
Total	58,976531	15,618932	52,082636	10,544922

Fuente: Elaboración propia

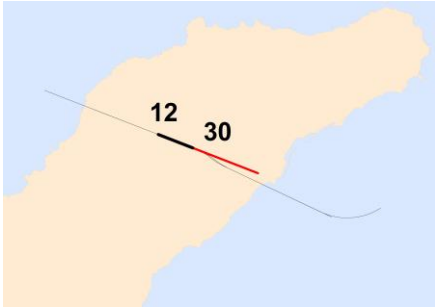
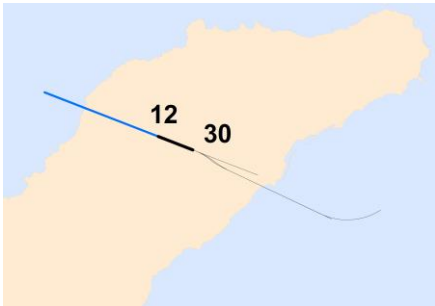
3. RÉGIMEN DE UTILIZACIÓN DE PISTAS Y TRAYECTORIAS

Tabla AII. 5. Características operativas de los corredores. Cabecera 12.

CORREDOR SIMULADO	PERIODO OPERATIVO	PISTA	PROCEDIMIENTO AIP
LLEGADAS NORMALIZADA (STAR)			
APP12 	H24	12	HIE2L / KONBA1L / LARYS1L / ORTIS1L / RUSIK3L / RUSIK1M / SAMAR1L / TERTO4L
SALIDAS NORMALIZADA POR INSTRUMENTOS (SID)			
DEP12_E 	H24	12	BIMBO6K / GDV3K / KONBA5K / KONBA6K / KORAL6K / KORAL7K / LARYS1K / LPC6K / SAMAR6K / SARAY1K / TFS2C / VASTO5K
DEP12_O 	H24	12	ARACO3K / HIE5K / TFS2K

Fuente: Elaboración propia

Tabla All. 6. Características operativas de los corredores. Cabecera 30

CORREDOR SIMULADO	PERIODO OPERATIVO	PISTA	PROCEDIMIENTO AIP
LLEGADAS NORMALIZADA (STAR)			
APP30 	H24	30	HIE2L / KONBA1L / LARYS1L / ORTIS1L / RUSIK3L / RUSIK1M / SAMAR1L / TERTO4L
SALIDAS NORMALIZADA POR INSTRUMENTOS (SID)			
DEP30 	H24	30	ARACO1J / BIMBO5J / GDV3J / LPC5J / HIE3J / KONBA4J / KORAL6J / LARYS1J / SAMAR5J / SARAY1J / TFS2D / TFS2J / VASTO4J

Fuente: Elaboración propia

Tabla AII. 7. Porcentaje de empleo de corredores dentro de la simulación.

TIPO OPERACIÓN	PISTA	CORREDOR	%D	%T	%TOTAL POR CONFIGURACIÓN
Aterrizajes	12	APP12	85,56	14,44	100
	30	APP30	77,18	22,82	100
Despegues	12	DEP12_E	73,45	13,43	86,88
		DEP12_O	12,23	0,88	13,12
	30	DEP30	82,27	17,73	100

Fuente: Elaboración propia